別冊⑤

長周期地震動の推計結果

~擬似速度応答スペクトル~

平成27年12月

南海トラフの巨大地震モデル検討会 首都直下地震モデル検討会

宝永地震	1
参考】破壊開始点の違いによる推計結果の比較	
	宝永地震 安政東海地震 安政南海地震 昭和東南海地震 昭和南海地震 最大クラスの地震 参考】破壊開始点の違いによる推計結果の比較

1 宝永地震

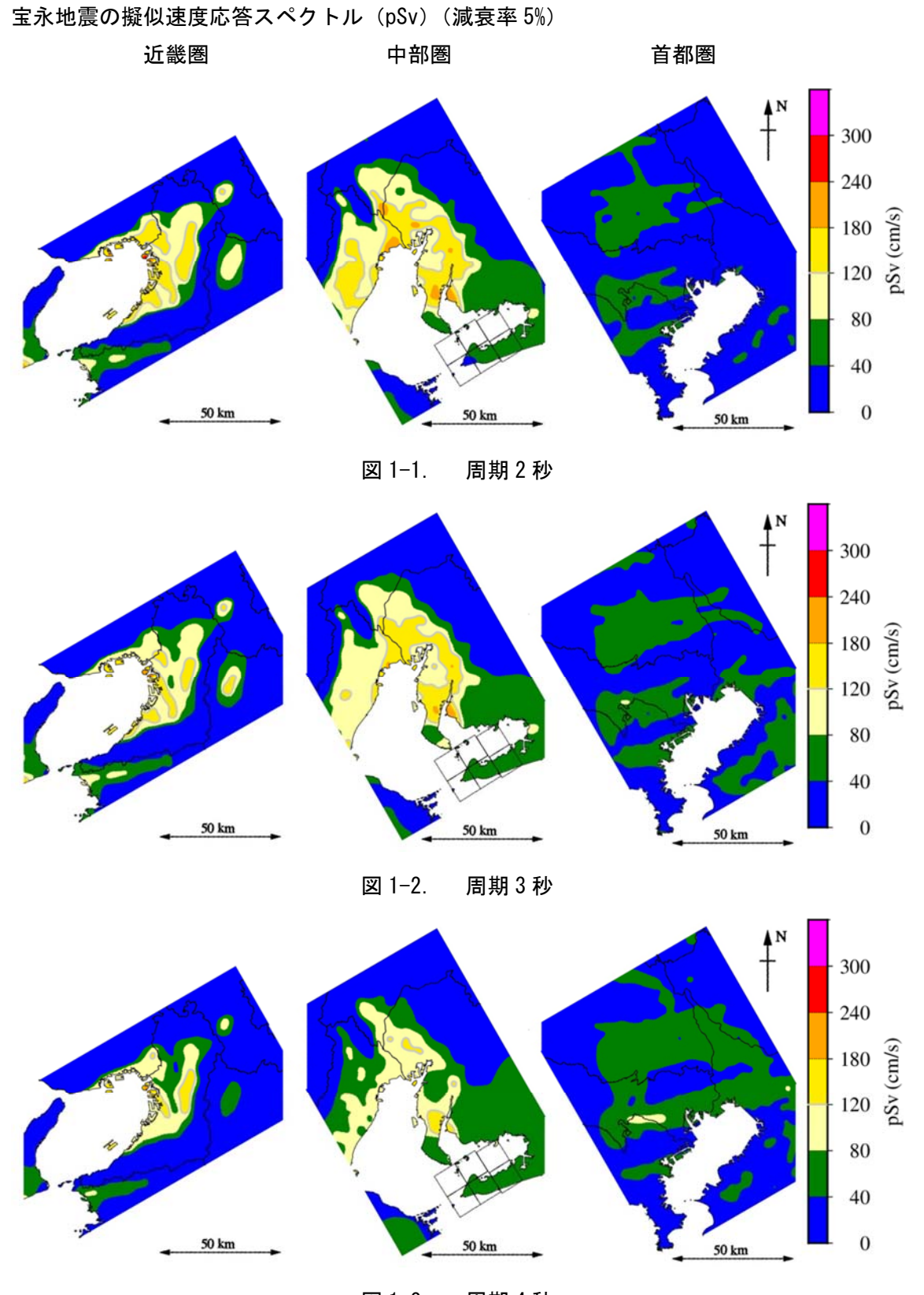
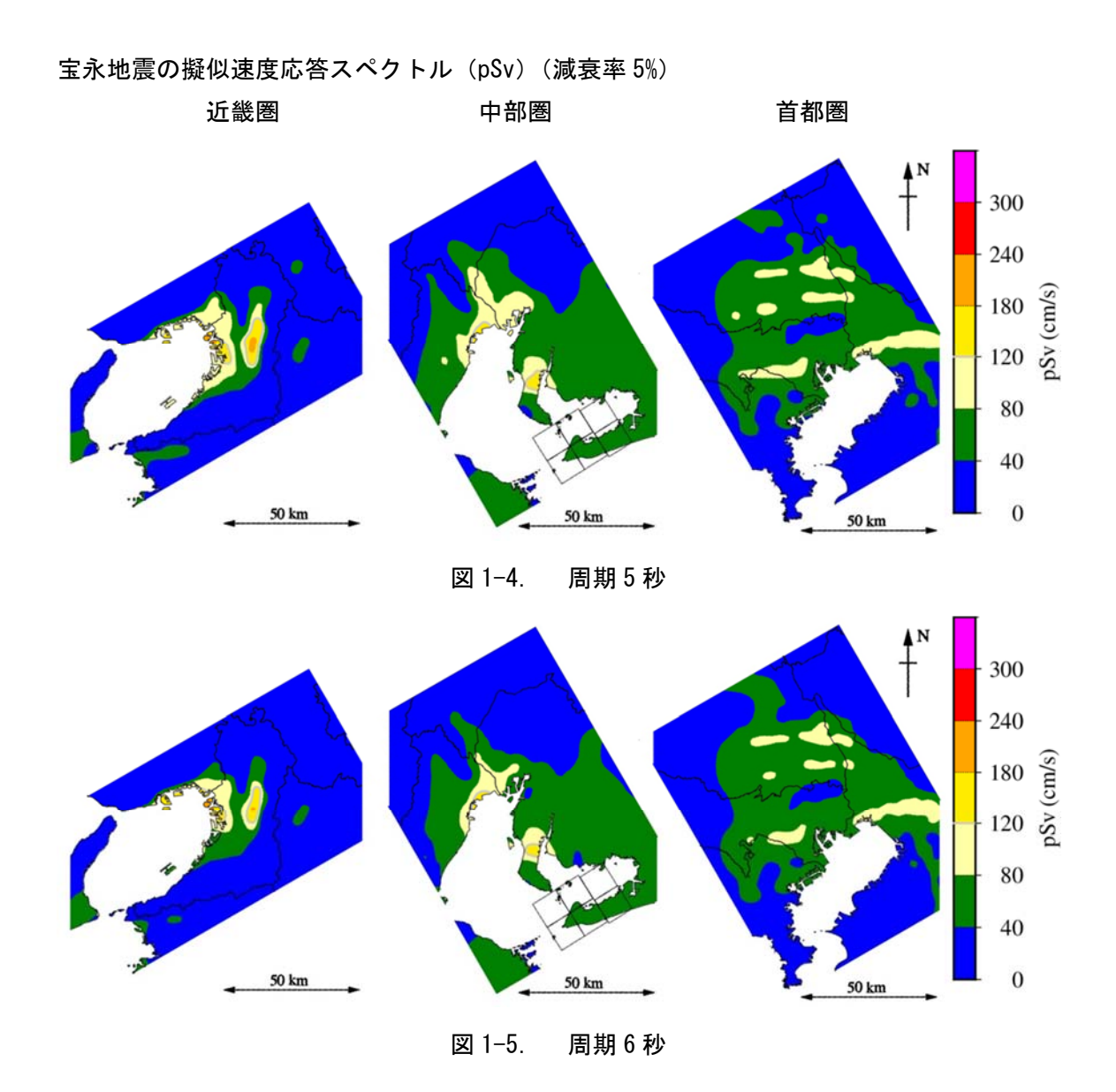


図 1-3. 周期 4 秒



2 安政東海地震

安政東海地震の擬似速度応答スペクトル (pSv) (減衰率 5%)

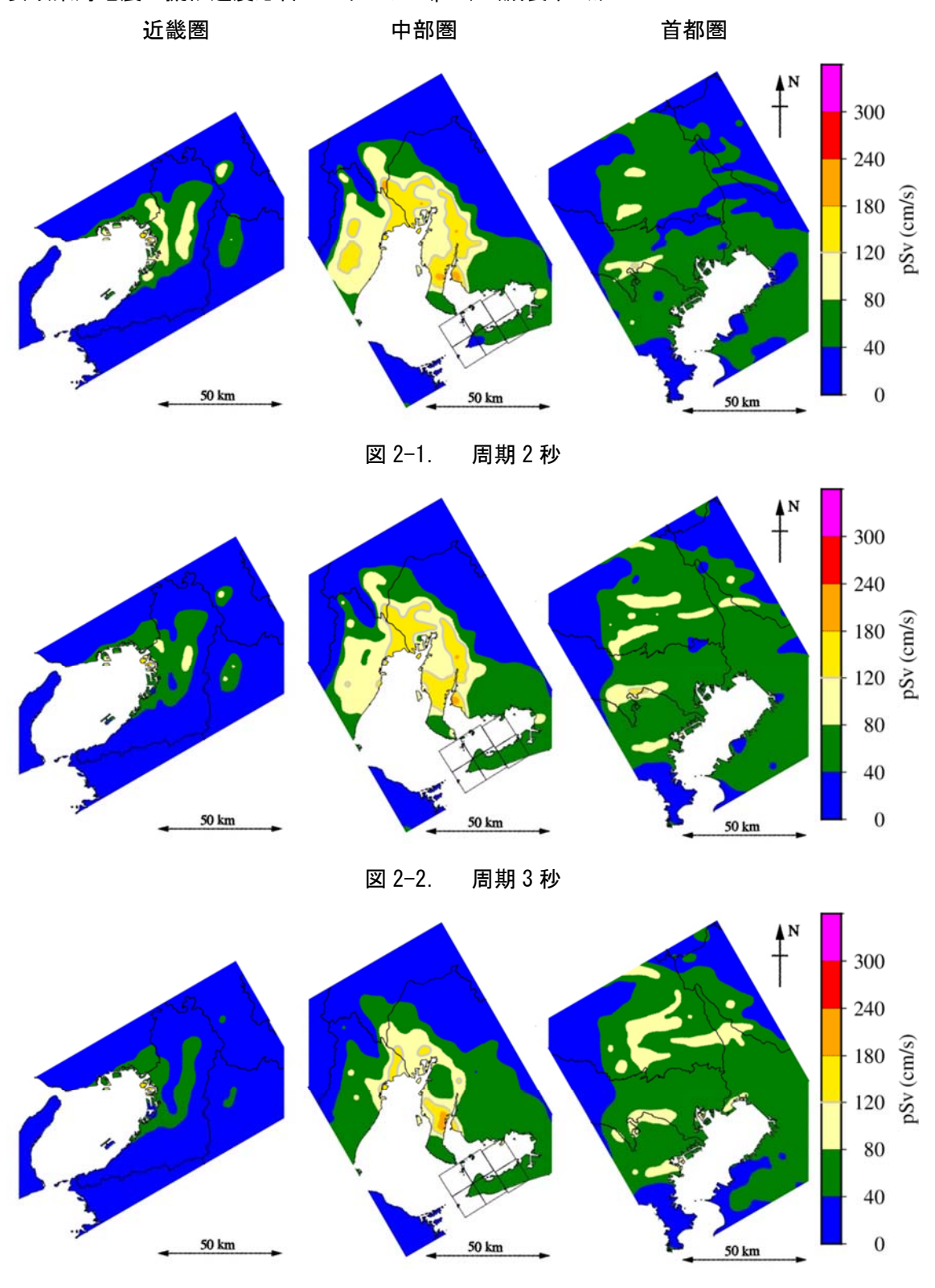
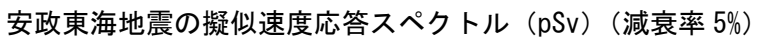
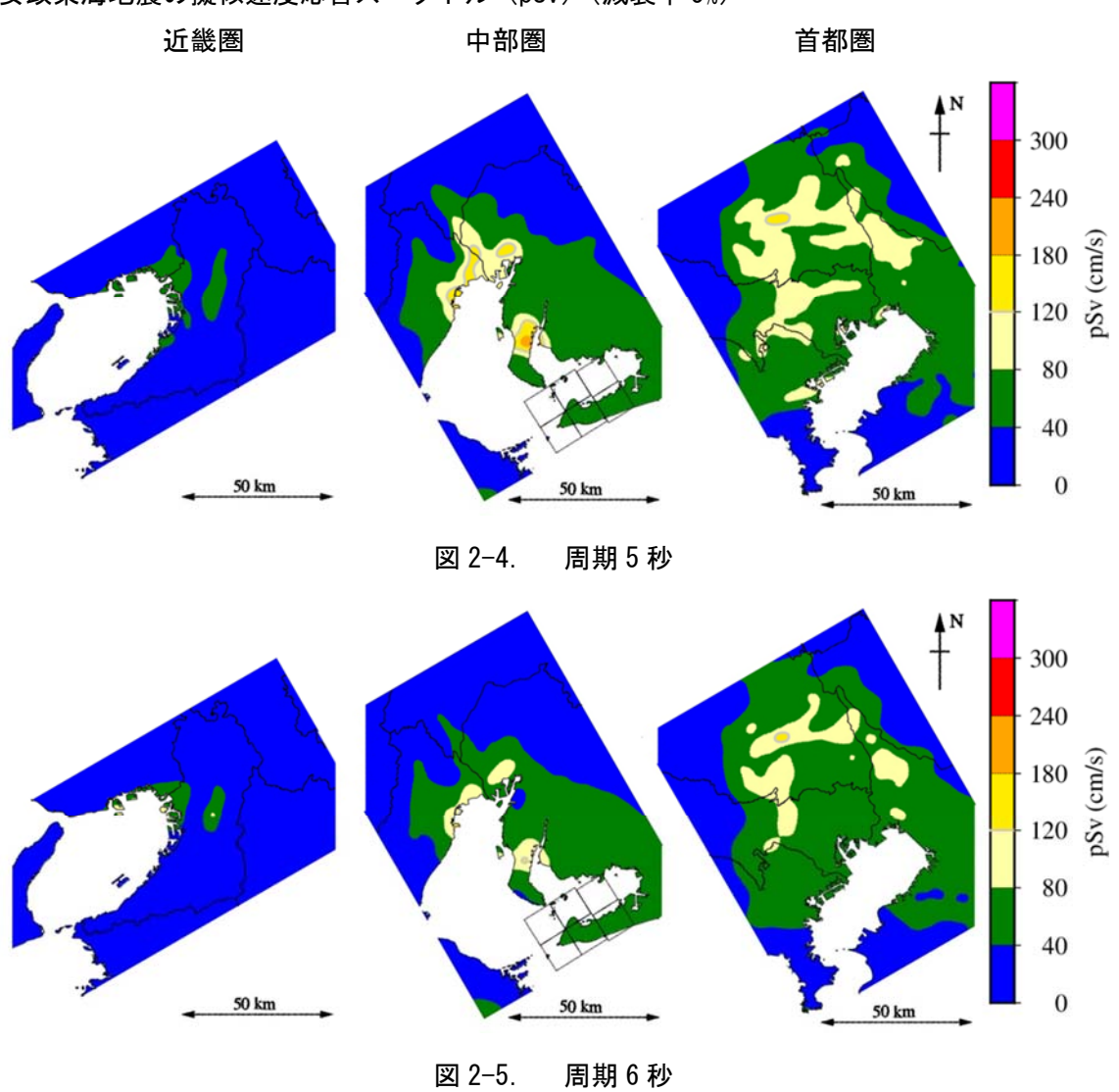


図 2-3. 周期 4 秒





3 安政南海地震

安政南海地震の擬似速度応答スペクトル (pSv) (減衰率 5%)

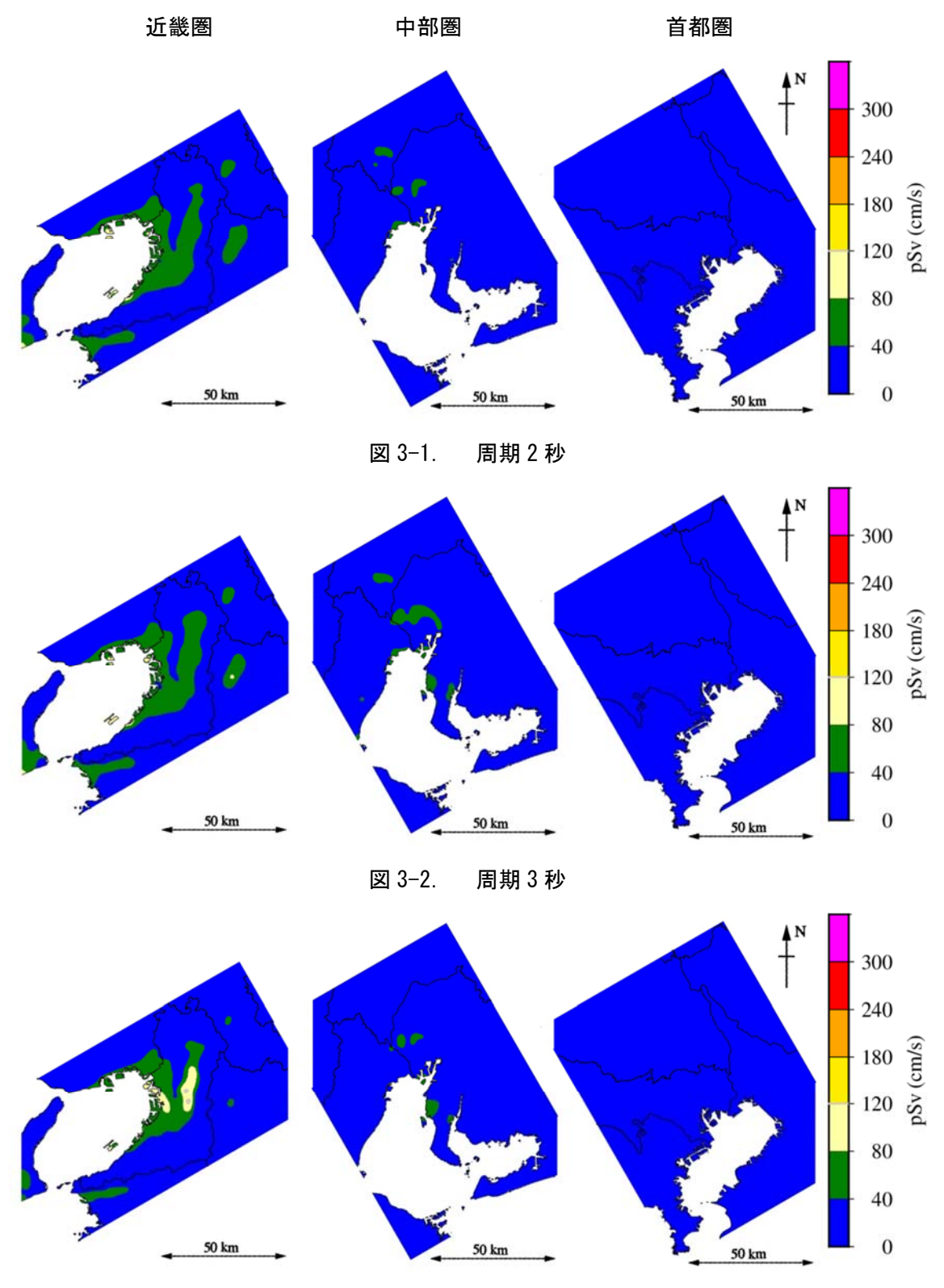


図 3-3. 周期 4 秒



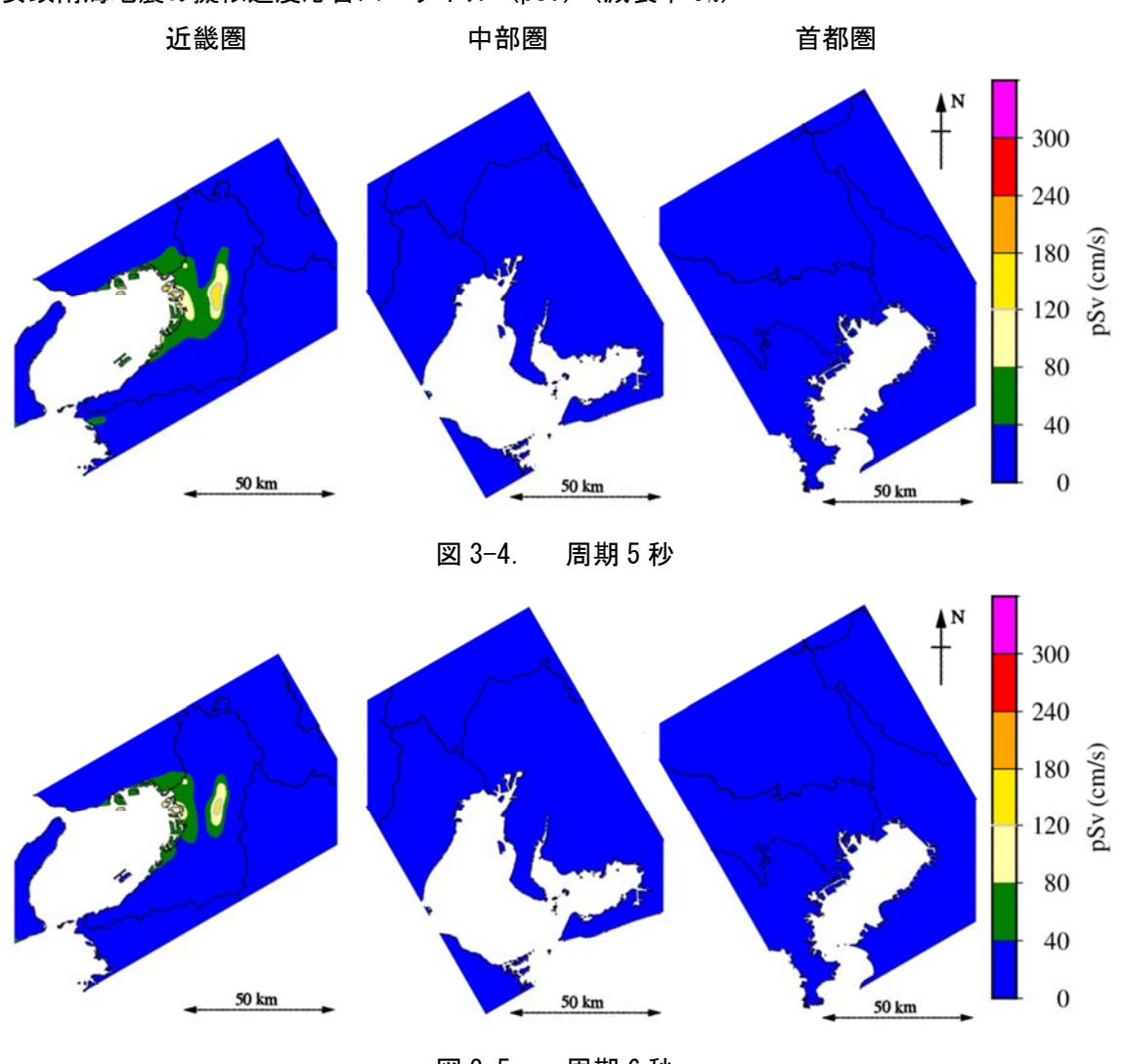


図 3-5. 周期 6 秒

4 昭和東南海地震

昭和東南海地震の擬似速度応答スペクトル(pSv)(減衰率 5%)

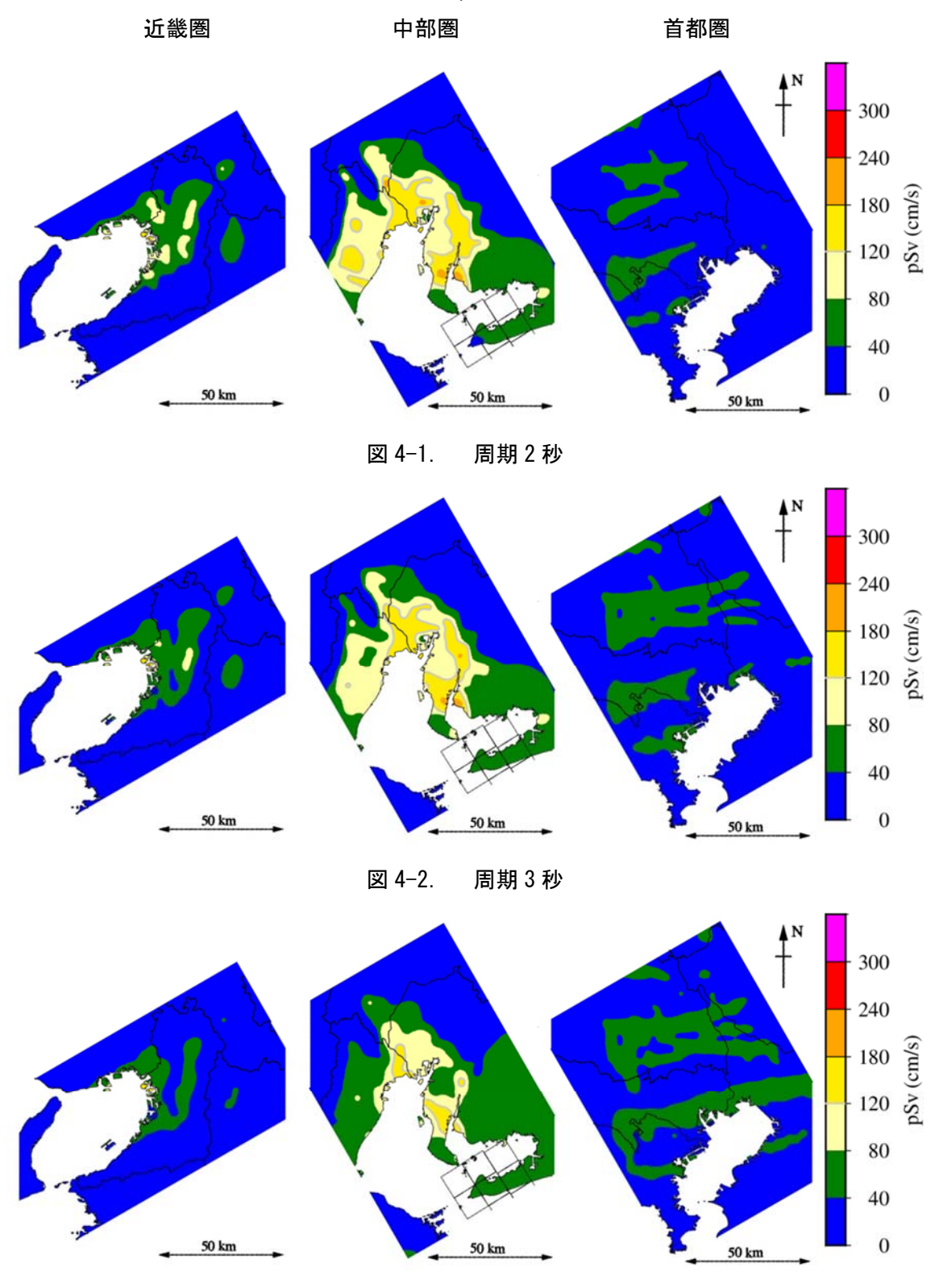
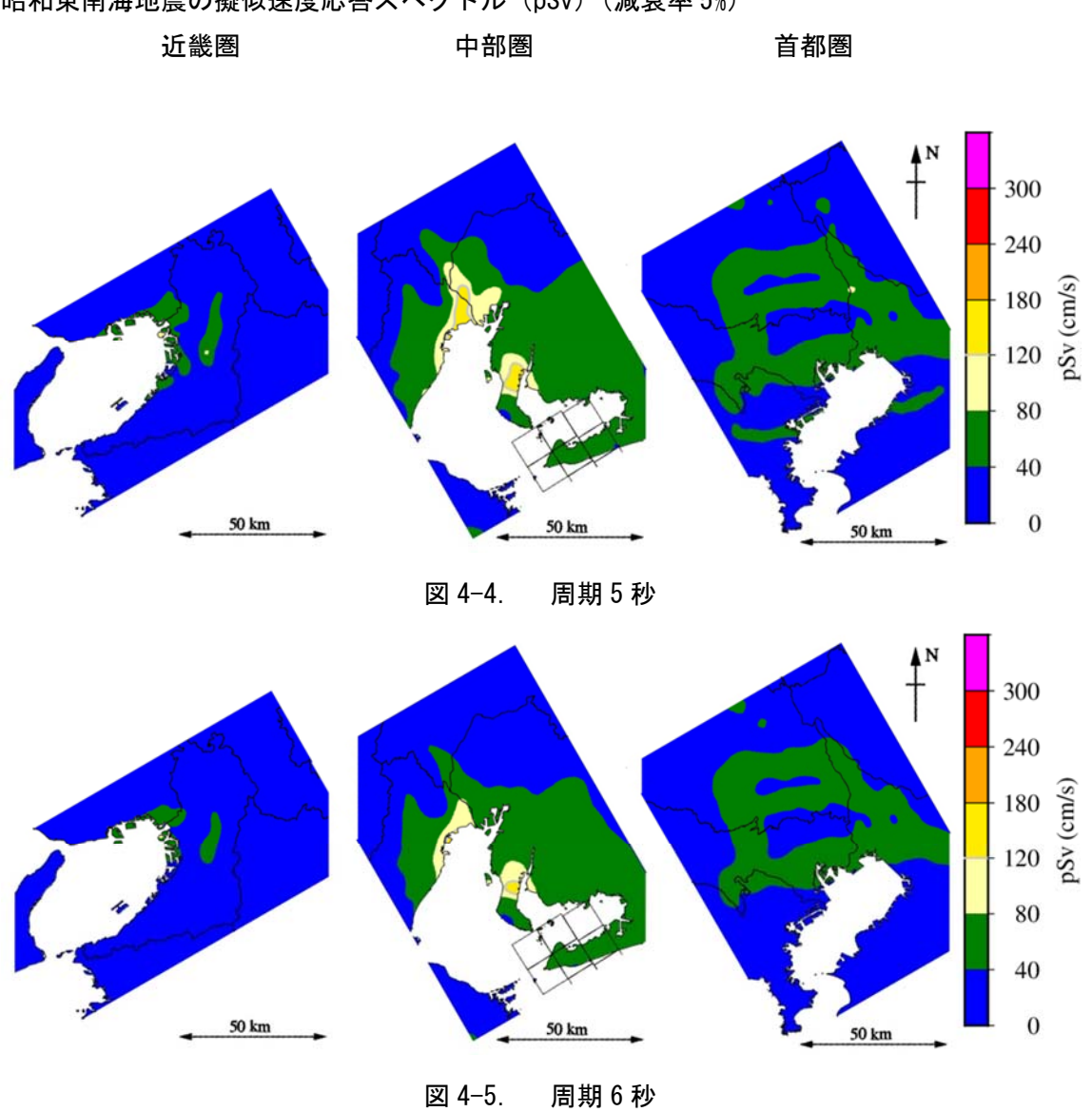


図 4-3. 周期 4 秒





5 昭和南海地震

昭和南海地震の擬似速度応答スペクトル (pSv) (減衰率 5%)

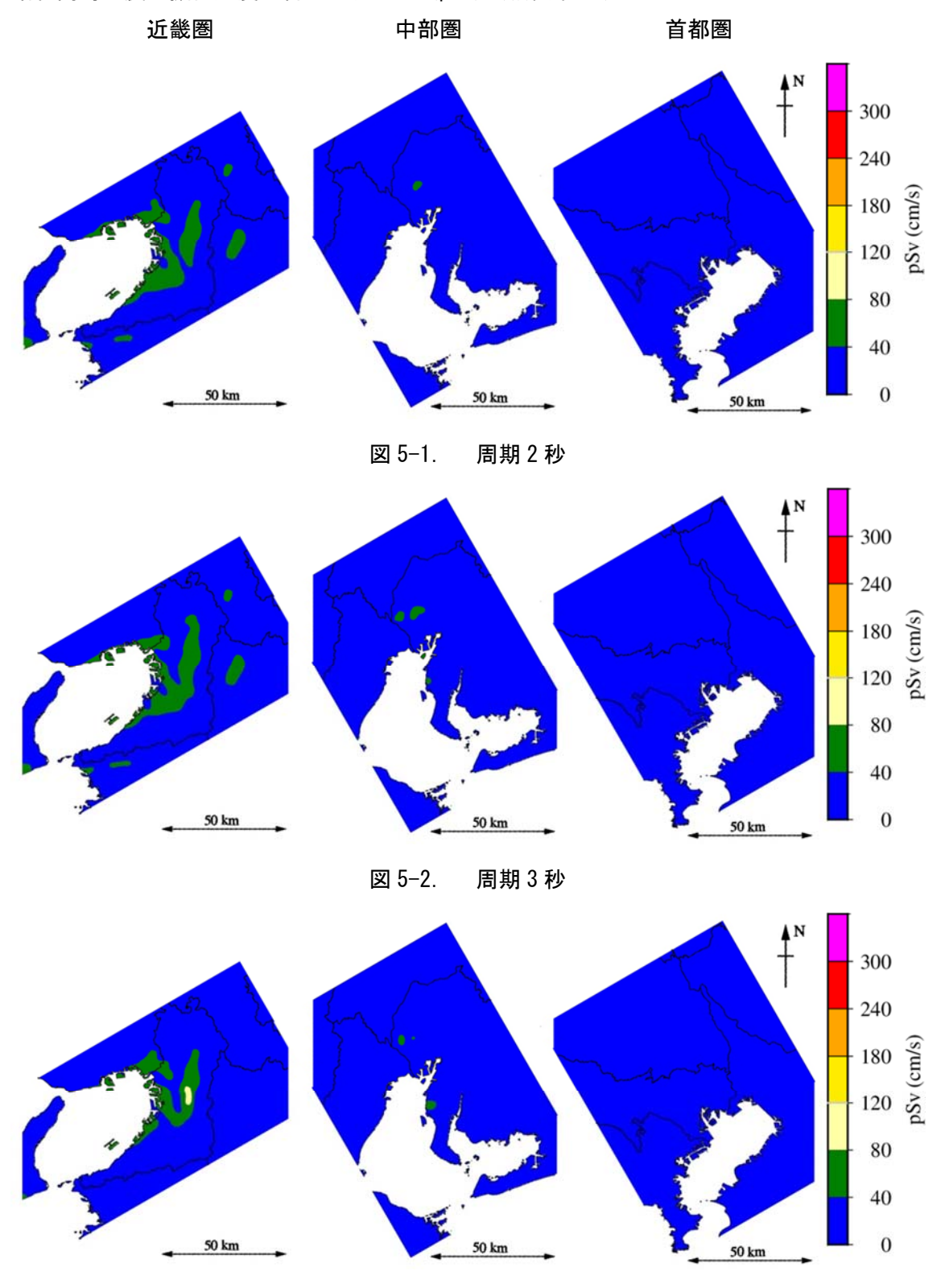
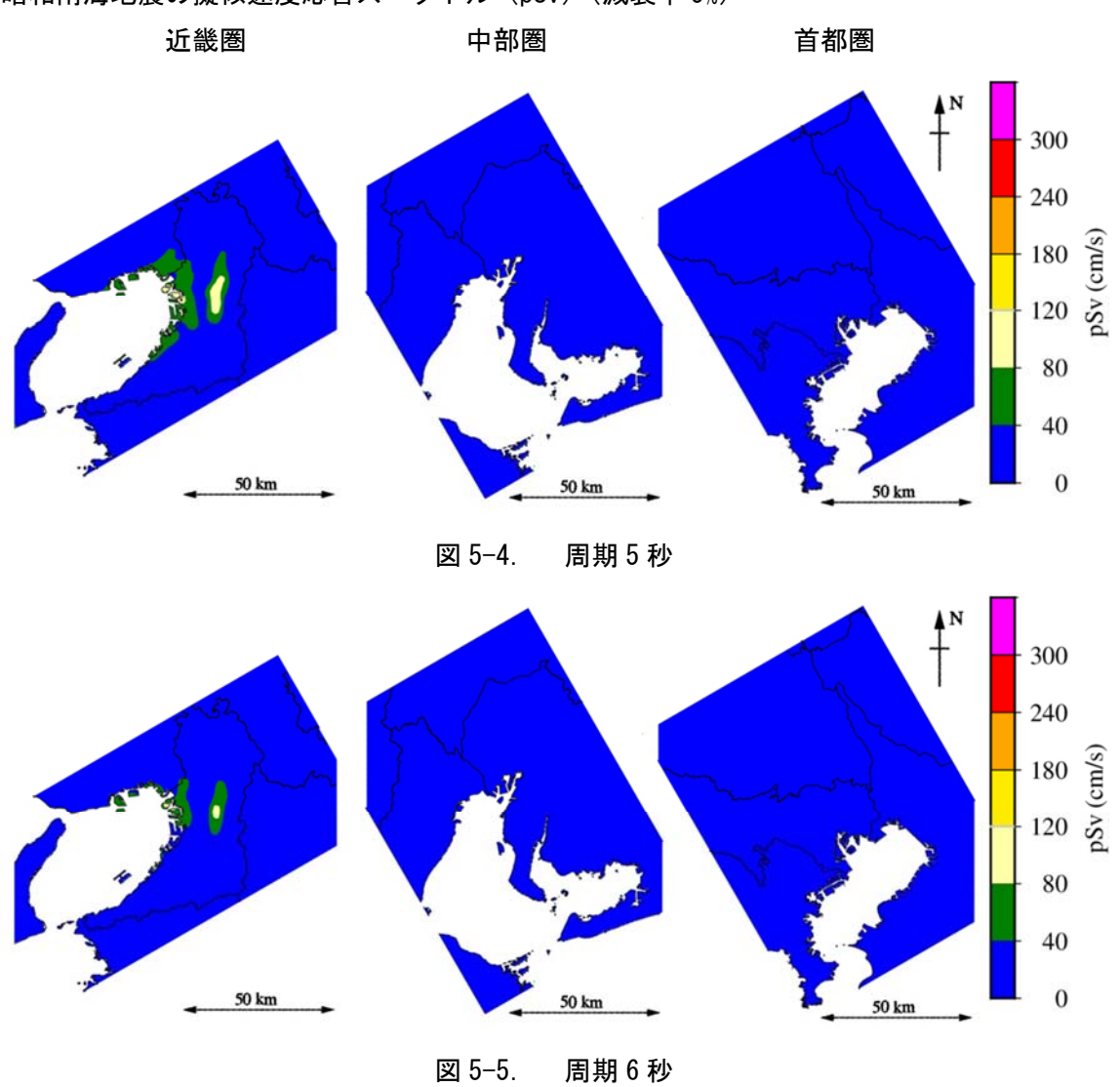


図 5-3. 周期 4 秒





6 最大クラスの地震

最大クラスの地震の擬似速度応答スペクトル (pSv) (減衰率 5%)

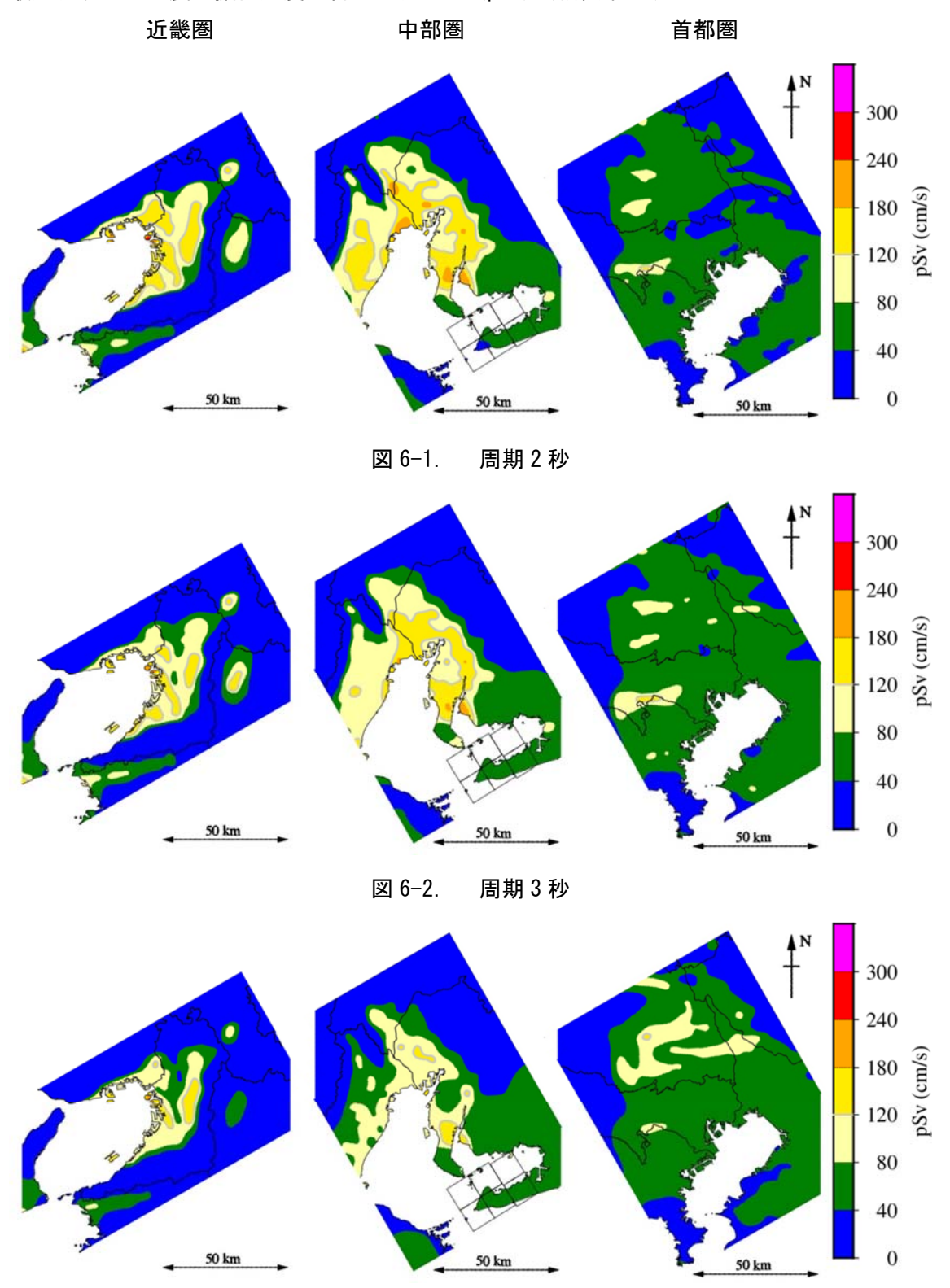


図 6-3. 周期 4 秒

最大クラスの地震の擬似速度応答スペクトル (pSv) (減衰率 5%)

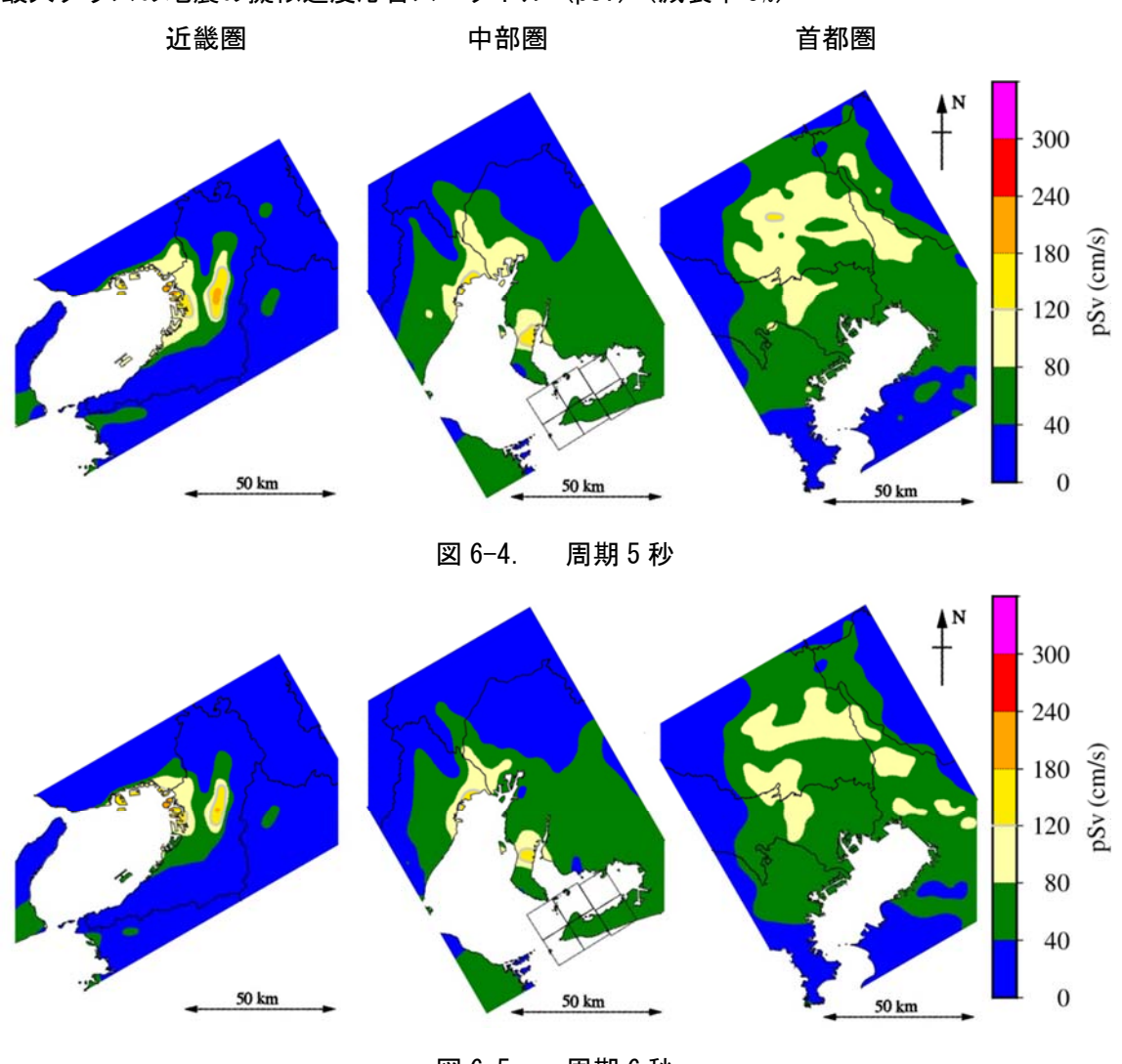


図 6-5. 周期 6 秒

【参考】破壊開始点の違いによる推計結果の比較

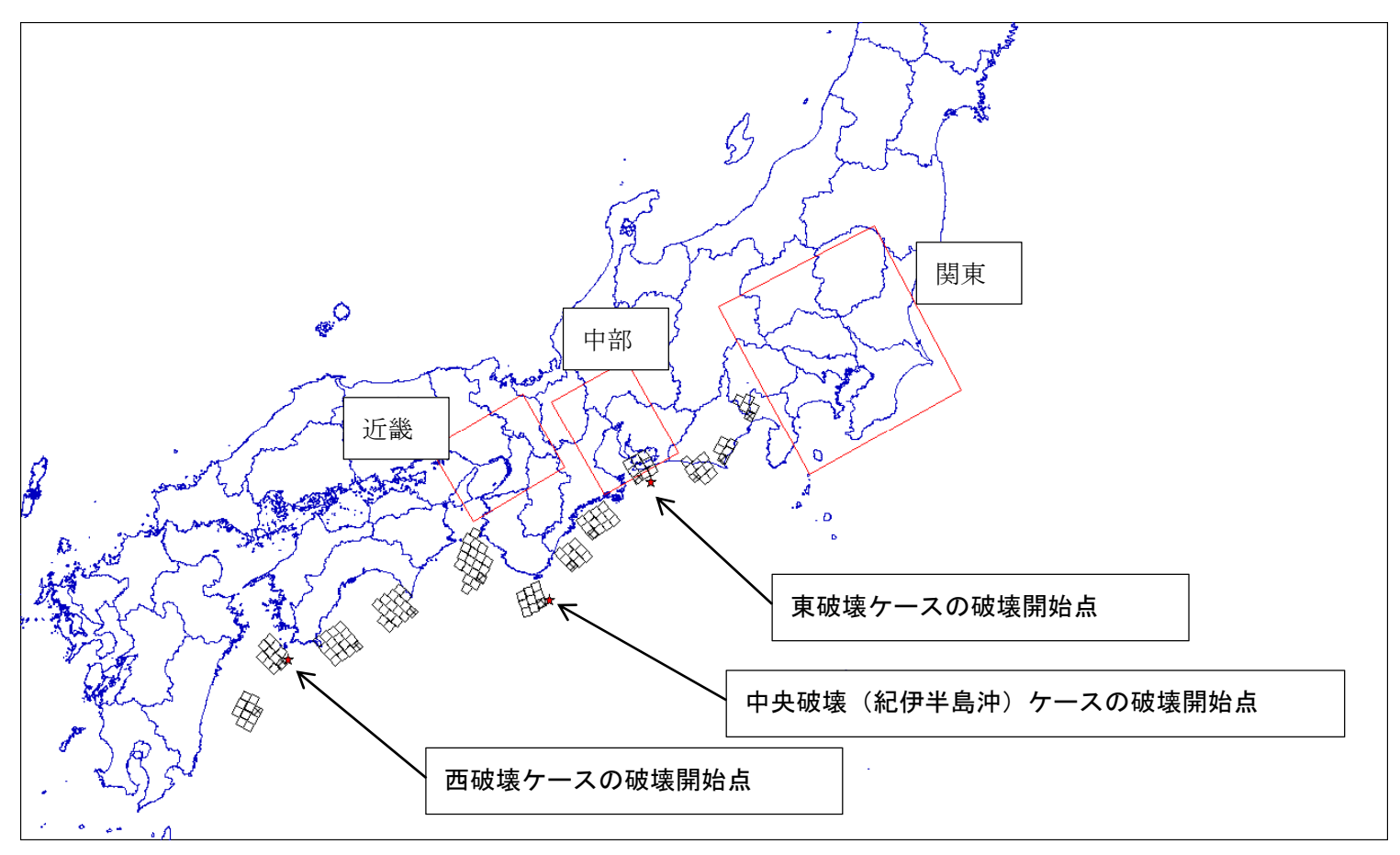


図 7. 東破壊、西破壊の破壊開始点と評価範囲 (SMGA は最大クラスの SMGA 分布を表示)

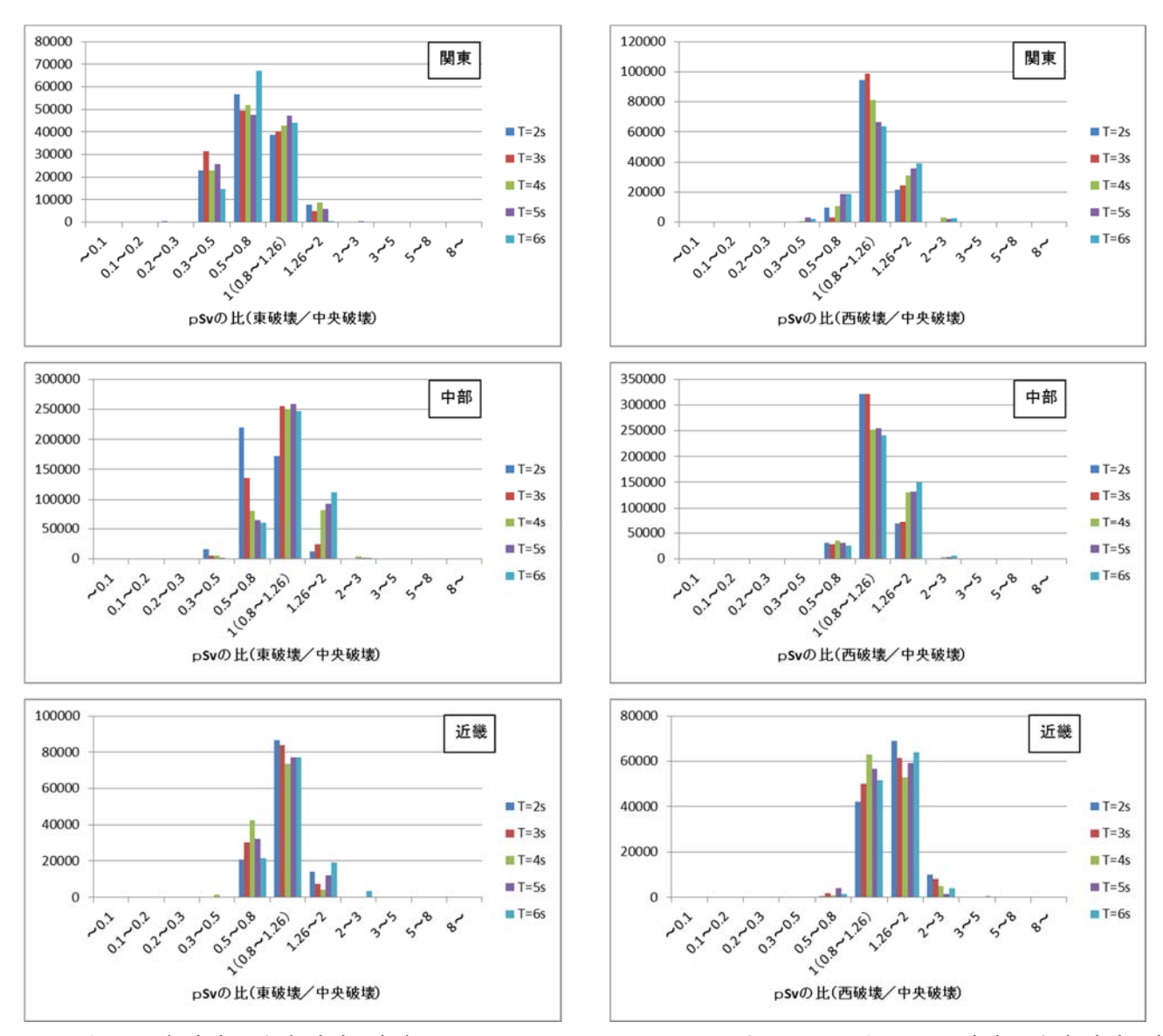


図 8-1. 最大クラスにおける東破壊と中央破壊の振幅(pSv)の比

図8-2. 最大クラスにおける西破壊と中央破壊の振幅(pSv)の比

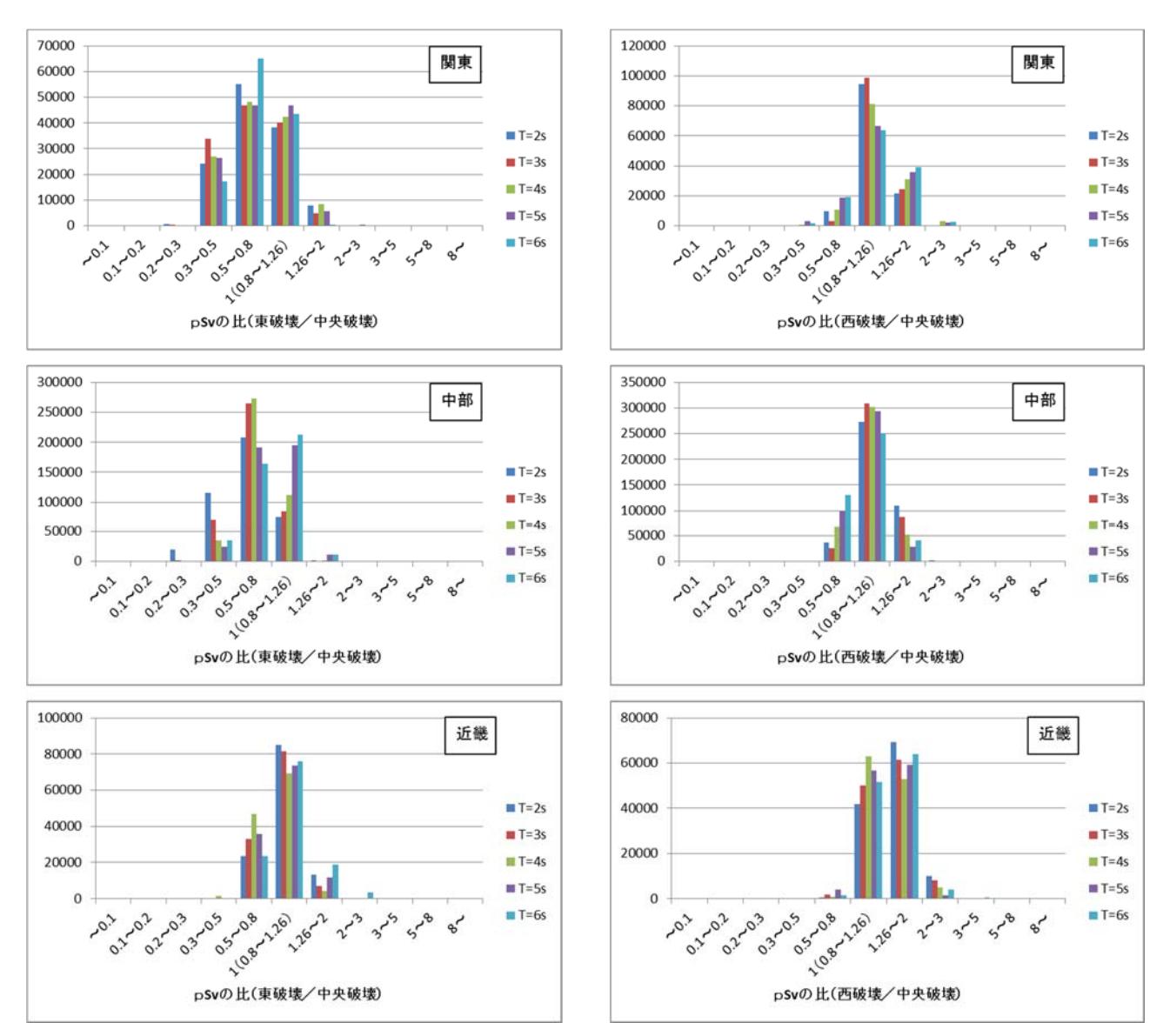


図8-3. 宝永地震における東破壊と中央破壊の振幅(pSv)の比

図 8-4. 宝永地震における西破壊と中央破壊の振幅(pSv)の比

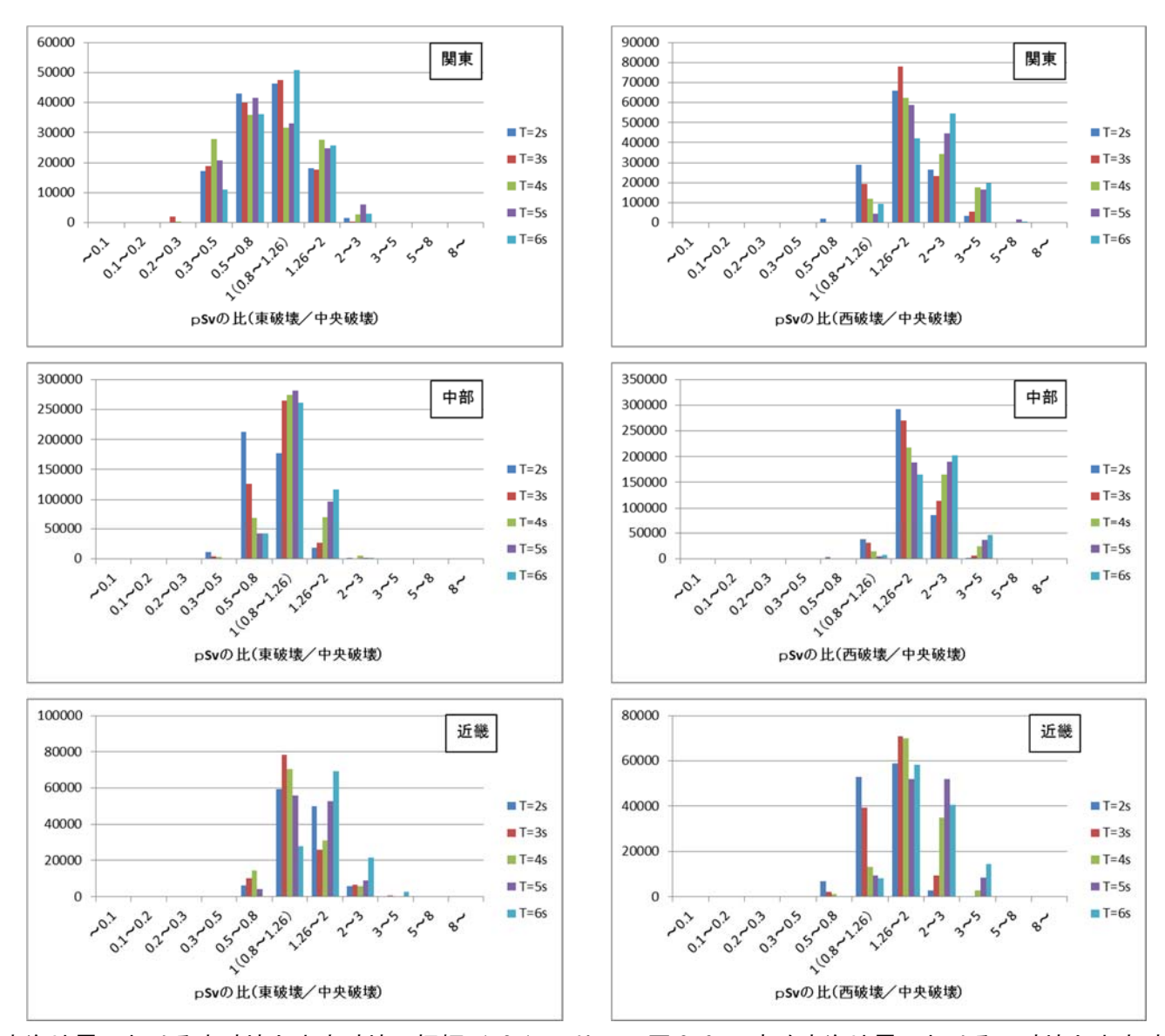


図 8-5. 安政東海地震における東破壊と中央破壊の振幅(pSv)の比

図 8-6. 安政南海地震における西破壊と中央破壊(pSv)の比較

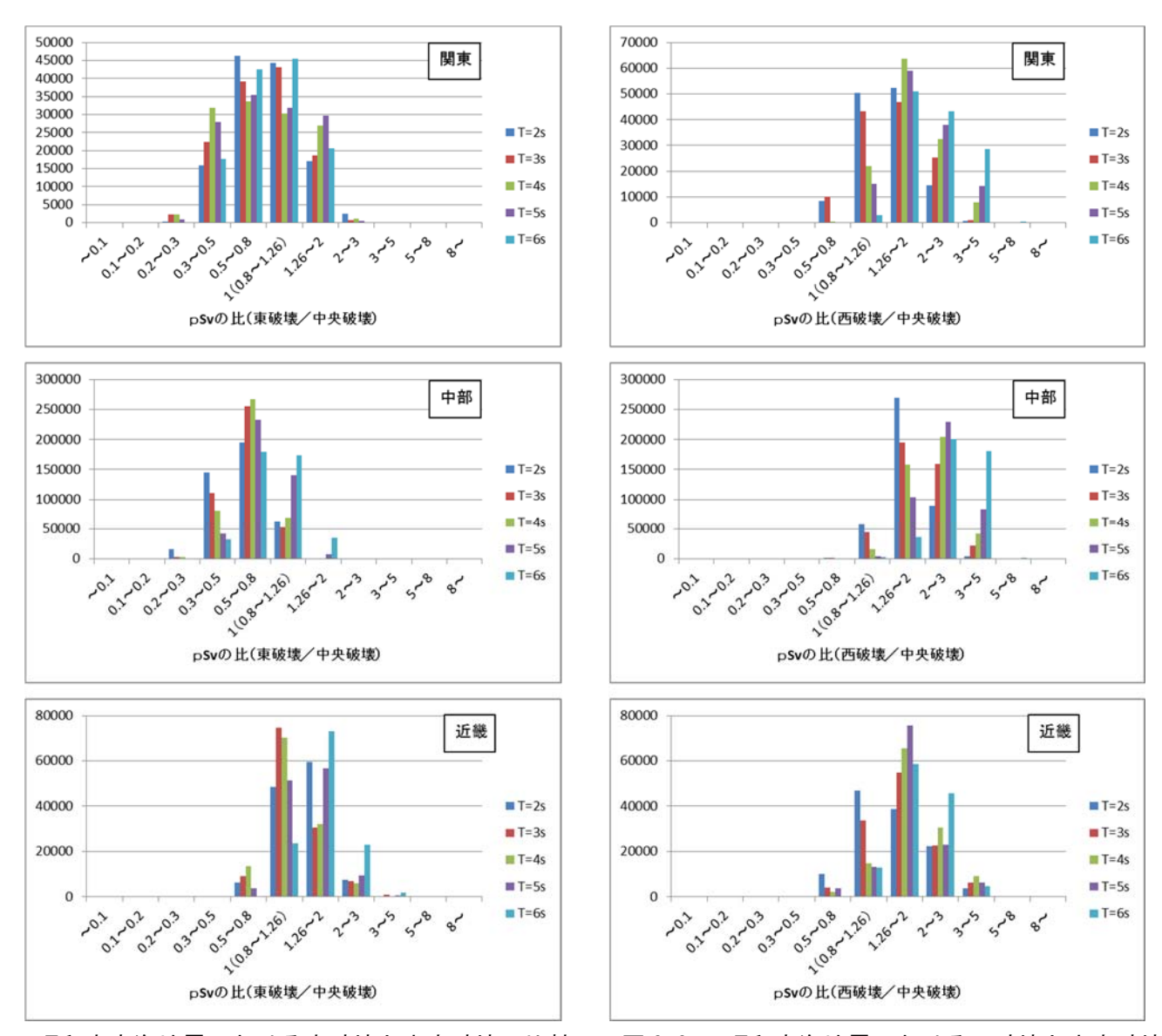


図8-7. 昭和東南海地震における東破壊と中央破壊の比較

図8-8. 昭和南海地震における西破壊と中央破壊の比較